

ANEXO II: DATOS DE TRÁFICO Y TRAYECTORIAS



1. COMPOSICIÓN DE LA FLOTA. AEROPUERTO DE PALMA DE MALLORCA

Tabla AII. 1. Composición de la flota

| INDICATIVO OACI | TIPO DE AERONAVES | CÓDIGO INM | % |
|-----------------|--|------------|---------|
| A124 | ANTONOV An-124 Ruslan | AN124 | 0,0005 |
| A318 | AIRBUS A-318 | A319-131 | 0,0077 |
| A319 | AIRBUS A-319 | A319-131 | 6,3671 |
| A320 | AIRBUS A-320 | A320-211 | 24,6449 |
| A321 | AIRBUS A-321 | A321 | 10,3541 |
| A332 | AIRBUS A-330-200 | A330-301 | 0,2403 |
| A333 | AIRBUS A-330-300 | A330-301 | 0,2259 |
| A343 | AIRBUS A-340-300 | A340-211 | 0,0246 |
| A345 | AIRBUS A-340-500 | A340-642 | 0,0021 |
| AC90 | GULFSTREAM AEROSPACE 690 Jetprop Commander | CNA441 | 0,0031 |
| AC95 | GULFSTREAM AEROSPACE 695 Jetprop Commander | CNA441 | 0,0010 |
| AN12 | ANTONOV An-12 | C130 | 0,0046 |
| AN26 | ANTONOV An-26 | AN26 | 0,0041 |
| AN72 | ANTONOV An-72/74 100/200 | AN74TK | 0,0021 |
| ASTR | IAI 1125 Gulfstream G100 | IA1125 | 0,0205 |
| AT43 | AEROSPATIALE ATR-42-200/300/320 | ATR42 | 0,2464 |
| AT72 | AEROSPATIALE ATR-72 | ATR72 | 1,2563 |
| AT75 | AEROSPATIALE ATR-72-500 | ATR72 | 3,2703 |
| AT76 | AEROSPATIALE ATR-72-600 | ATR72 | 0,6335 |
| AT8T | AIR TRACTOR AT-802 | CNA208 | 0,0015 |
| B190 | BEECH 1900 | BEC190 | 0,0010 |
| B350 | BEECH 300 (B300) Super King Air 350 | BEC300 | 0,0847 |
| B462 | BRITISH AEROSPACE BAe-146-200 | BAE146 | 0,0041 |
| B712 | BOEING 717-200 | 717200 | 0,6053 |
| B733 | BOEING 737-300 | 737300 | 1,1197 |
| B734 | BOEING 737-400 | 737400 | 0,6535 |
| B735 | BOEING 737-500 | 737500 | 0,0200 |
| B736 | BOEING 737-600 | 737700 | 0,0421 |
| B737 | BOEING 737-700 | 737700 | 2,0926 |
| B738 | BOEING 737-800 | 737800 | 29,2146 |
| B739 | BOEING 737-900 | 737900 | 0,0421 |

| INDICATIVO OACI | TIPO DE AERONAVES | CÓDIGO INM | % |
|-----------------|---|------------|--------|
| B744 | BOEING 747-400 (international winglets) | 747400 | 0,0082 |
| B748 | BOEING 747-8 | 7478 | 0,0041 |
| B752 | BOEING 757-200 | 757RR | 0,8004 |
| B753 | BOEING 757-300 | 757300 | 1,2778 |
| B762 | BOEING 767-200 | 767CF6 | 0,0010 |
| B763 | BOEING 767-300 | 767300 | 0,4230 |
| B772 | BOEING 777-200 | 777200 | 0,0123 |
| B788 | BOEING 787-8 Dreamliner | 7878R | 0,1088 |
| BE20 | BEECH 200 Super King Air | BEC200 | 0,5113 |
| BE30 | BEECH 300 Super King Air | BEC300 | 0,0010 |
| BE40 | BEECH 400 Beechjet | BEC400 | 0,0827 |
| BE58 | BEECH 58 Baron | BEC58 | 0,0021 |
| BE9L | BEECH 90 (A/B/C/D/E 90) King Air | BEC90 | 0,0144 |
| C172 | CESSNA 172 | CNA172 | 0,0010 |
| C182 | CESSNA 182 | CNA182 | 0,0031 |
| C208 | CESSNA 208 | CNA208 | 0,0010 |
| C25A | CESSNA 525A Citation CJ2 | CNA525C | 0,4615 |
| C25B | CESSNA 525B Citation CJ3 | CNA525C | 0,2059 |
| C25C | CESSNA 525C Citation CJ4 | CNA525C | 0,0960 |
| C425 | CESSNA 425 | CNA425 | 0,0021 |
| C500 | CESSNA 500 Citation | CNA500 | 0,0056 |
| C501 | CESSNA 501 Citation 1SP | CNA501 | 0,0067 |
| C510 | CESSNA 510 Citation Mustang | CNA510 | 0,2244 |
| C525 | CESSNA 525 Citation CJ1 | CNA525C | 0,1930 |
| C550 | CESSNA 550/552 Citation 2/Bravo | CNA55B | 0,1437 |
| C551 | CESSNA 551 Citation 2SP | CNA551 | 0,0180 |
| C55B | CESSNA 550 Citation Bravo | CNA55B | 0,0467 |
| C560 | CESSNA 560 Citation 5 | CNA560 | 0,0991 |
| C56X | CESSNA 560XL Citation Excel | CNA560XL | 0,7044 |
| C650 | CESSNA 650 Citation 3/6/7 | CIT3 | 0,0267 |
| C680 | CESSNA 680 Citation Sovereign | CNA680 | 0,0934 |
| C750 | CESSNA 750 Citation 10 | CNA750 | 0,0457 |
| CL2T | CANADAIR CL-215T/415 | DHC830 | 0,0041 |
| CL30 | BOMBARDIER BD-100 Challenger 300 | BD100 | 0,1396 |
| CL35 | BOMBARDIER BD-100 Challenger 350 | BD100 | 0,0472 |

| INDICATIVO OACI | TIPO DE AERONAVES | CÓDIGO INM | % |
|-----------------|--|------------|--------|
| CL60 | CANADAIR CL-600 Challenger 600/601/604 | CL601 | 0,1751 |
| COL4 | LANCAIR LC-41 Columbia 400 | CNA172 | 0,0010 |
| CRJ2 | CANADAIR CL-600 Regional Jet CRJ-200/440 | CLREGJ | 0,8081 |
| CRJ9 | CANADAIR CL-600 Regional Jet CRJ-705/900 | CRJ900 | 4,2155 |
| CRJX | CANADAIR CL-600 Regional Jet CRJ-1000 (CL600-2E25) | CRJ9-LR | 0,3034 |
| D328 | FAIRCHILD DORNIER 328 | DO328 | 0,1617 |
| DA42 | DIAMOND DA-42 Twin Star | DA42 | 0,0046 |
| DA62 | DIAMOND DA-62 | DA42 | 0,0005 |
| DH8D | DE HAVILLAND CANADA DHC-8-400 Dash 8 | DHC830 | 0,1099 |
| DHC6 | DE HAVILLAND CANADA DHC-6 Twin Otter | DHC6 | 0,0010 |
| DR40 | ROBIN DR-400/500 | CNA172 | 0,0010 |
| E120 | EMBRAER EMB-120 Brasilia | EMB120 | 1,0093 |
| E135 | EMBRAER ERJ-135/140 | EMB135 | 0,0041 |
| E145 | EMBRAER EMB-145 | EMB145 | 0,0133 |
| E170 | EMBRAER ERJ-170/175 | EMB170 | 0,0734 |
| E190 | EMBRAER ERJ-190/195 | EMB190 | 3,5409 |
| E35L | EMBRAER EMB-135BJ Legacy 600 | EMB14L | 0,1006 |
| E50P | EMBRAER EMB-500 Phenom 100 | CNA510 | 0,0657 |
| E545 | EMBRAER EMB-545 Legacy 450 | EMB14L | 0,0021 |
| E550 | EMBRAER EMB-550 Legacy 500 | EMB14L | 0,0072 |
| E55P | EMBRAER EMB-505 Phenom 300 | CNA55B | 0,2038 |
| EA50 | ECLIPSE Eclipse 500 | ECLIPSE500 | 0,0010 |
| F100 | FOKKER 100 | F10065 | 0,0051 |
| F2TH | DASSAULT Falcon 2000 | FAL20A | 0,2531 |
| F406 | CESSNA F406 | DHC6 | 0,0021 |
| F900 | DASSAULT-BREGUET Mystère 900 | FAL900 | 0,1037 |
| FA10 | DASSAULT-BREGUET Falcon 10/100 | FAL10 | 0,0021 |
| FA50 | DASSAULT-BREGUET Falcon 50 | FAL50 | 0,0144 |
| FA7X | DASSAULT Falcon 7X | F10062 | 0,0621 |
| G150 | IAI Gulfstream G150 | G150 | 0,0036 |
| G280 | Gulfstream G280 | GV | 0,0236 |
| GALX | IAI 1126 Gulfstream G200 | G200 | 0,0349 |
| GL5T | BOMBARDIER BD-700 Global 5000 | GV | 0,0277 |
| GLEX | BOMBARDIER BD-700 Global Express | BD700 | 0,2002 |
| GLF3 | GULFSTREAM AEROSPACE G-1159A Gulfstream 3 | GIIB | 0,0021 |

| INDICATIVO OACI | TIPO DE AERONAVES | CÓDIGO INM | % |
|-----------------|--|------------|--------|
| GLF4 | GULFSTREAM AEROSPACE G-4 Gulfstream G300/350/400/450 | GIV | 0,0549 |
| GLF5 | GULFSTREAM AEROSPACE G-5SP Gulfstream G500/550 | GV | 0,1443 |
| GLF6 | GULFSTREAM AEROSPACE Gulfstream G650 | GV | 0,0329 |
| H25B | BRITISH AEROSPACE BAe-125-700/800 | IA1125 | 0,2752 |
| H25C | BRITISH AEROSPACE BAe-125-1000 | LEAR35 | 0,0159 |
| HA4T | RAYTHEON Hawker 4000 | HK4000 | 0,0175 |
| HDJT | HONDA HA-420 HondaJet | PA30 | 0,0010 |
| IL76 | ILYUSHIN II-76/78/82 | IL76 | 0,0051 |
| J328 | FAIRCHILD DORNIER 328JET | D328J | 0,0472 |
| LJ31 | LEARJET 31 | LEAR31 | 0,0123 |
| LJ35 | LEARJET 35/36 | LEAR35 | 0,1037 |
| LJ40 | LEARJET 40 | LEAR35 | 0,0087 |
| LJ45 | LEARJET 45 | LEAR45 | 0,0785 |
| LJ55 | LEARJET 55 | LEAR55 | 0,0303 |
| LJ60 | LEARJET 60 | LEAR60 | 0,0560 |
| LJ75 | LEARJET 75 | CNA55B | 0,0072 |
| M20T | MOONEY 231/252/M-20K/M | M20K | 0,0010 |
| MD11 | MCDONNELL DOUGLAS MD-11 | MD11GE | 0,0010 |
| MD82 | MCDONNELL DOUGLAS MD-82 | MD82 | 0,0164 |
| MD83 | MCDONNELL DOUGLAS MD-83 | MD83 | 0,0072 |
| MU2 | MITSUBISHI MU-2 | MU2 | 0,0005 |
| P180 | PIAGGIO P-180 Avanti | P180 | 0,0914 |
| P28A | PIPER PA-28-140/150/151/160/161/180/181 | PA28 | 0,0031 |
| P28R | PIPER PA-28R-180/200/201/201T Cherokee Arrow | PA28CA | 0,0010 |
| P32R | PIPER PA-32R-300/301/301T | PA32SG | 0,0010 |
| P46T | PIPER PA-46-500TP Malibu Meridian | PA46 | 0,0149 |
| P68 | PARTENAVIA P-68 | BEC58P | 0,0010 |
| PA31 | PIPER PA-31-300/310/325/350/P350/P425 | PA31CH | 0,0026 |
| PA34 | PIPER PA-34 Seneca | PA34 | 0,0010 |
| PA46 | PIPER PA-46-310P Malibu | PA46 | 0,0005 |
| PAY1 | PIPER PA-31T1-500 Cheyenne 1 | PA31T | 0,0067 |
| PAY2 | PIPER PA-31T/T2-620 Cheyenne | PA31T | 0,0041 |
| PAY3 | PIPER PA-42-720 Cheyenne 3 | PA42 | 0,0082 |
| PC12 | PILATUS PC-12 | PC12 | 0,1037 |

| INDICATIVO OACI | TIPO DE AERONAVES | CÓDIGO INM | % |
|-----------------|--|------------|--------|
| PRM1 | RAYTHEON 390 Premier 1 | R390 | 0,1263 |
| RJ1H | BRITISH AEROSPACE RJ-100 | BAE146 | 0,0133 |
| RJ85 | BRITISH AEROSPACE RJ-85 | BAE146 | 0,0031 |
| S22T | CIRRUS SR-22T | SR22 | 0,0021 |
| SB20 | SAAB 2000 | SAAB20 | 0,1083 |
| SF34 | SAAB 340 | SF340 | 0,0041 |
| SR22 | CIRRUS SR-22 | SR22 | 0,0010 |
| SU95 | SUKHOI Superjet 100-95 | 737N9 | 0,0021 |
| SW3 | FAIRCHILD SWEARINGEN SA-226TB/227TT Merlin 3/Fairchild 300 | SA227 | 0,0072 |
| SW4 | FAIRCHILD SA-226/227 Metro/Merlin/Expediter | SA227 | 0,0103 |
| TBM7 | SOCATA TBM-700 | STBM7 | 0,0133 |
| TBM8 | SOCATA TBM-850 | CNA208 | 0,0062 |
| TBM9 | SOCATA TBM-900 | CNA208 | 0,0021 |

Fuente: PALESTRA 2016

2. FICHERO DE TRÁFICO. AEROPUERTO DE PALMA DE MALLORCA

Tabla AII. 2. Fichero de tráfico.

| AERONAVE INM | ATERRIZAJES | | | DESPEGUES | | |
|-----------------|-------------|---------|--------|-----------|---------|--------|
| | DÍA | TARDE | NOCHE | DÍA | TARDE | NOCHE |
| 717200 | 1,0591 | 0,4642 | 0,1279 | 0,9479 | 0,3558 | 0,3225 |
| 737300 | 2,1794 | 0,6366 | 0,2113 | 2,1516 | 0,8006 | 0,0834 |
| 737400 | 1,1064 | 0,3225 | 0,3419 | 1,3065 | 0,1195 | 0,3419 |
| 737500 | 0,0334 | 0,0195 | 0,0028 | 0,0250 | 0,0195 | 0,0083 |
| 737700 | 4,0725 | 1,4511 | 0,2696 | 3,6722 | 1,7708 | 0,3225 |
| 737800 | 50,3356 | 20,1292 | 8,6260 | 50,9917 | 20,1765 | 7,9310 |
| 737900 | 0,0334 | 0,0667 | 0,0167 | 0,0556 | 0,0473 | 0,0083 |
| 737N9 | 0,0056 | 0,0000 | 0,0000 | 0,0056 | 0,0000 | 0,0000 |
| 747400 | 0,0083 | 0,0056 | 0,0083 | 0,0167 | 0,0000 | 0,0056 |
| 7478 | 0,0111 | 0,0000 | 0,0000 | 0,0111 | 0,0000 | 0,0000 |
| 757300 | 2,5770 | 0,2669 | 0,6283 | 3,1024 | 0,3391 | 0,0056 |
| 757RR | 1,4984 | 0,4503 | 0,2141 | 1,4845 | 0,4086 | 0,2780 |
| 767300 | 0,8395 | 0,2724 | 0,0361 | 0,8451 | 0,0806 | 0,2168 |
| 767CF6 | 0,0028 | 0,0000 | 0,0000 | 0,0000 | 0,0028 | 0,0000 |
| 777200 | 0,0139 | 0,0111 | 0,0083 | 0,0222 | 0,0000 | 0,0111 |
| 7878R | 0,2307 | 0,0389 | 0,0250 | 0,2196 | 0,0445 | 0,0306 |
| A319-131 | 12,9349 | 2,8272 | 1,5567 | 12,1509 | 2,6715 | 2,3768 |
| A320-211 | 46,6105 | 15,7064 | 4,4145 | 45,2317 | 17,2103 | 4,2727 |
| A321 | 22,2030 | 4,9260 | 0,9090 | 20,2460 | 7,2305 | 0,5504 |
| A330-301 | 0,9340 | 0,2446 | 0,0806 | 0,7061 | 0,3697 | 0,1890 |
| A340-211 | 0,0556 | 0,0083 | 0,0028 | 0,0500 | 0,0083 | 0,0083 |
| A340-642 | 0,0056 | 0,0000 | 0,0000 | 0,0056 | 0,0000 | 0,0000 |
| AN124 | 0,0000 | 0,0000 | 0,0000 | 0,0028 | 0,0000 | 0,0000 |
| AN26 | 0,0000 | 0,0028 | 0,0083 | 0,0083 | 0,0028 | 0,0000 |
| AN74TK | 0,0028 | 0,0000 | 0,0028 | 0,0000 | 0,0000 | 0,0056 |
| ATR42 | 0,5560 | 0,0139 | 0,0973 | 0,4448 | 0,1473 | 0,0751 |
| ATR72 | 11,0056 | 1,9376 | 1,0341 | 10,3746 | 2,9133 | 0,6755 |
| BAE146 | 0,0417 | 0,0083 | 0,0056 | 0,0278 | 0,0222 | 0,0056 |
| BD100 | 0,4059 | 0,0695 | 0,0361 | 0,4503 | 0,0389 | 0,0111 |
| BD700 | 0,3920 | 0,1195 | 0,0334 | 0,4559 | 0,0445 | 0,0389 |
| BEC190 | 0,0028 | 0,0000 | 0,0000 | 0,0000 | 0,0000 | 0,0028 |

| AERONAVE INM | ATERORIZAJES | | | DESPEGUES | | |
|-----------------|--------------|--------|--------|-----------|--------|--------|
| | DÍA | TARDE | NOCHE | DÍA | TARDE | NOCHE |
| BEC200 | 0,9896 | 0,2391 | 0,1557 | 1,0619 | 0,2002 | 0,1223 |
| BEC300 | 0,2113 | 0,0222 | 0,0000 | 0,2252 | 0,0028 | 0,0028 |
| BEC400 | 0,1946 | 0,0278 | 0,0056 | 0,2002 | 0,0139 | 0,0056 |
| BEC58 | 0,0056 | 0,0000 | 0,0000 | 0,0056 | 0,0000 | 0,0000 |
| BEC58P | 0,0000 | 0,0028 | 0,0000 | 0,0028 | 0,0000 | 0,0000 |
| BEC90 | 0,0361 | 0,0028 | 0,0000 | 0,0306 | 0,0056 | 0,0028 |
| C130 | 0,0028 | 0,0083 | 0,0028 | 0,0083 | 0,0000 | 0,0028 |
| CIT3 | 0,0584 | 0,0111 | 0,0028 | 0,0723 | 0,0000 | 0,0000 |
| CL601 | 0,3753 | 0,0695 | 0,0361 | 0,4198 | 0,0222 | 0,0250 |
| CLREGJ | 1,7903 | 0,2891 | 0,1084 | 1,7096 | 0,4281 | 0,0500 |
| CNA172 | 0,0028 | 0,0056 | 0,0000 | 0,0083 | 0,0000 | 0,0000 |
| CNA182 | 0,0083 | 0,0000 | 0,0000 | 0,0056 | 0,0000 | 0,0028 |
| CNA208 | 0,0306 | 0,0028 | 0,0000 | 0,0222 | 0,0028 | 0,0000 |
| CNA425 | 0,0028 | 0,0028 | 0,0000 | 0,0056 | 0,0000 | 0,0000 |
| CNA441 | 0,0111 | 0,0000 | 0,0000 | 0,0111 | 0,0000 | 0,0000 |
| CNA500 | 0,0028 | 0,0139 | 0,0000 | 0,0056 | 0,0028 | 0,0056 |
| CNA501 | 0,0083 | 0,0056 | 0,0028 | 0,0139 | 0,0028 | 0,0028 |
| CNA510 | 0,6255 | 0,1251 | 0,0334 | 0,7005 | 0,0556 | 0,0306 |
| CNA525C | 1,9709 | 0,5226 | 0,0945 | 2,3351 | 0,1863 | 0,0695 |
| CNA551 | 0,0250 | 0,0111 | 0,0111 | 0,0389 | 0,0028 | 0,0083 |
| CNA55B | 0,8284 | 0,2002 | 0,0500 | 0,9841 | 0,0639 | 0,0473 |
| CNA560 | 0,1501 | 0,0778 | 0,0389 | 0,2418 | 0,0139 | 0,0139 |
| CNA560XL | 1,5734 | 0,2724 | 0,0556 | 1,7208 | 0,1362 | 0,0556 |
| CNA680 | 0,2057 | 0,0389 | 0,0083 | 0,2224 | 0,0278 | 0,0028 |
| CNA750 | 0,0667 | 0,0334 | 0,0250 | 0,1001 | 0,0056 | 0,0167 |
| CRJ900 | 9,1876 | 2,1961 | 0,0334 | 8,8706 | 2,4602 | 0,0778 |
| CRJ9-LR | 0,4837 | 0,2252 | 0,1084 | 0,5059 | 0,1974 | 0,1223 |
| D328J | 0,1223 | 0,0056 | 0,0000 | 0,1279 | 0,0000 | 0,0000 |
| DA42 | 0,0111 | 0,0028 | 0,0000 | 0,0111 | 0,0028 | 0,0000 |
| DHC6 | 0,0083 | 0,0000 | 0,0000 | 0,0083 | 0,0000 | 0,0000 |
| DHC830 | 0,2669 | 0,0417 | 0,0000 | 0,0639 | 0,2446 | 0,0000 |
| DO328 | 0,4198 | 0,0195 | 0,0000 | 0,3753 | 0,0584 | 0,0028 |
| ECLIPSE500 | 0,0028 | 0,0000 | 0,0000 | 0,0028 | 0,0000 | 0,0000 |
| EMB120 | 0,6032 | 0,6811 | 1,4594 | 0,5226 | 0,7672 | 1,4316 |

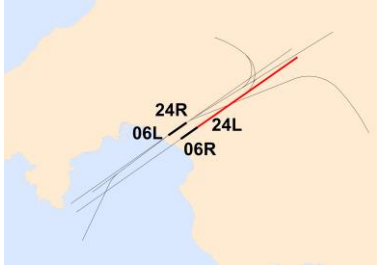
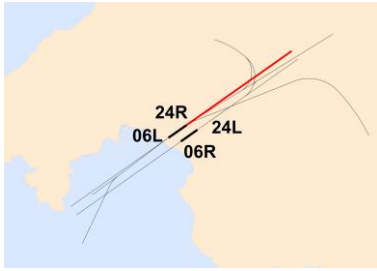
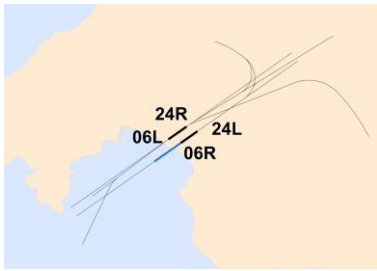
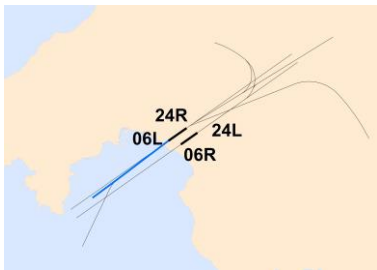
| AERONAVE INM | ATERRIZAJES | | | DESPEGUES | | |
|-----------------|-------------|--------|--------|-----------|--------|--------|
| | DÍA | TARDE | NOCHE | DÍA | TARDE | NOCHE |
| EMB135 | 0,0111 | 0,0000 | 0,0000 | 0,0083 | 0,0028 | 0,0000 |
| EMB145 | 0,0278 | 0,0056 | 0,0028 | 0,0334 | 0,0000 | 0,0028 |
| EMB14L | 0,2335 | 0,0584 | 0,0028 | 0,2557 | 0,0195 | 0,0250 |
| EMB170 | 0,1974 | 0,0000 | 0,0028 | 0,1890 | 0,0056 | 0,0028 |
| EMB190 | 6,8441 | 2,3768 | 0,3642 | 6,7635 | 2,5214 | 0,3030 |
| F10062 | 0,1334 | 0,0250 | 0,0111 | 0,1501 | 0,0111 | 0,0056 |
| F10065 | 0,0056 | 0,0056 | 0,0028 | 0,0083 | 0,0028 | 0,0028 |
| FAL10 | 0,0056 | 0,0000 | 0,0000 | 0,0028 | 0,0028 | 0,0000 |
| FAL20A | 0,5532 | 0,1112 | 0,0167 | 0,5949 | 0,0917 | 0,0028 |
| FAL50 | 0,0389 | 0,0000 | 0,0000 | 0,0389 | 0,0000 | 0,0000 |
| FAL900 | 0,2029 | 0,0584 | 0,0195 | 0,2418 | 0,0306 | 0,0083 |
| G150 | 0,0111 | 0,0000 | 0,0000 | 0,0083 | 0,0000 | 0,0000 |
| G200 | 0,0834 | 0,0056 | 0,0028 | 0,0834 | 0,0139 | 0,0000 |
| GIIB | 0,0056 | 0,0000 | 0,0000 | 0,0028 | 0,0028 | 0,0000 |
| GIV | 0,1056 | 0,0334 | 0,0111 | 0,1251 | 0,0139 | 0,0083 |
| GV | 0,4448 | 0,1446 | 0,0278 | 0,5476 | 0,0612 | 0,0111 |
| HK4000 | 0,0361 | 0,0056 | 0,0056 | 0,0334 | 0,0139 | 0,0000 |
| IA1125 | 0,6283 | 0,1473 | 0,0222 | 0,7005 | 0,0751 | 0,0278 |
| IL76 | 0,0083 | 0,0028 | 0,0028 | 0,0139 | 0,0000 | 0,0000 |
| LEAR31 | 0,0306 | 0,0028 | 0,0000 | 0,0334 | 0,0000 | 0,0000 |
| LEAR35 | 0,3086 | 0,0250 | 0,0083 | 0,3113 | 0,0389 | 0,0028 |
| LEAR45 | 0,1529 | 0,0417 | 0,0195 | 0,1862 | 0,0083 | 0,0167 |
| LEAR55 | 0,0778 | 0,0028 | 0,0000 | 0,0751 | 0,0083 | 0,0000 |
| LEAR60 | 0,1251 | 0,0195 | 0,0056 | 0,1307 | 0,0139 | 0,0083 |
| M20K | 0,0028 | 0,0000 | 0,0000 | 0,0028 | 0,0000 | 0,0000 |
| MD11GE | 0,0000 | 0,0028 | 0,0000 | 0,0000 | 0,0000 | 0,0028 |
| MD82 | 0,0361 | 0,0083 | 0,0000 | 0,0278 | 0,0167 | 0,0000 |
| MD83 | 0,0083 | 0,0056 | 0,0056 | 0,0111 | 0,0028 | 0,0056 |
| MU2 | 0,0028 | 0,0000 | 0,0000 | 0,0000 | 0,0000 | 0,0000 |
| P180 | 0,2196 | 0,0195 | 0,0083 | 0,2085 | 0,0250 | 0,0139 |
| PA28 | 0,0000 | 0,0111 | 0,0000 | 0,0056 | 0,0000 | 0,0000 |
| PA28CA | 0,0000 | 0,0028 | 0,0000 | 0,0028 | 0,0000 | 0,0000 |
| PA30 | 0,0028 | 0,0000 | 0,0000 | 0,0028 | 0,0000 | 0,0000 |
| PA31CH | 0,0028 | 0,0056 | 0,0000 | 0,0056 | 0,0000 | 0,0000 |

| AERONAVE INM | ATERORIZAJES | | | DESPEGUES | | |
|-----------------|-----------------|----------------|----------------|-----------------|----------------|----------------|
| | DÍA | TARDE | NOCHE | DÍA | TARDE | NOCHE |
| PA31T | 0,0222 | 0,0056 | 0,0000 | 0,0306 | 0,0000 | 0,0000 |
| PA32SG | 0,0028 | 0,0000 | 0,0000 | 0,0028 | 0,0000 | 0,0000 |
| PA34 | 0,0000 | 0,0000 | 0,0028 | 0,0028 | 0,0000 | 0,0000 |
| PA42 | 0,0195 | 0,0028 | 0,0000 | 0,0222 | 0,0000 | 0,0000 |
| PA46 | 0,0417 | 0,0000 | 0,0000 | 0,0417 | 0,0000 | 0,0000 |
| PC12 | 0,2168 | 0,0500 | 0,0139 | 0,2641 | 0,0111 | 0,0056 |
| R390 | 0,2724 | 0,0639 | 0,0056 | 0,3058 | 0,0250 | 0,0111 |
| SA227 | 0,0195 | 0,0278 | 0,0000 | 0,0222 | 0,0056 | 0,0195 |
| SAAB20 | 0,2863 | 0,0083 | 0,0000 | 0,2474 | 0,0445 | 0,0000 |
| SF340 | 0,0083 | 0,0000 | 0,0028 | 0,0028 | 0,0056 | 0,0028 |
| SR22 | 0,0111 | 0,0000 | 0,0000 | 0,0056 | 0,0000 | 0,0000 |
| STBM7 | 0,0361 | 0,0000 | 0,0000 | 0,0334 | 0,0000 | 0,0028 |
| Total | 190,9232 | 58,4417 | 21,4969 | 187,4399 | 62,8033 | 20,3709 |

Fuente: Elaboración propia

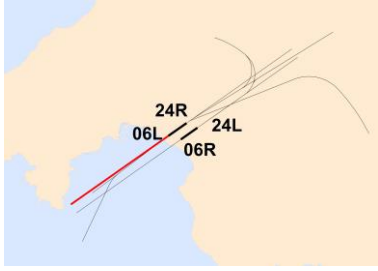
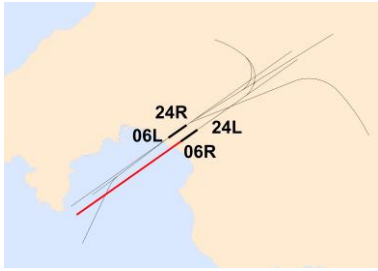
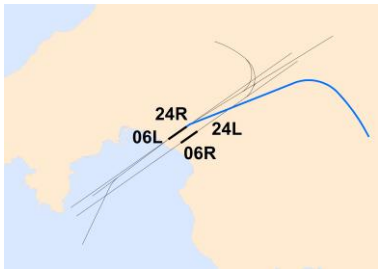
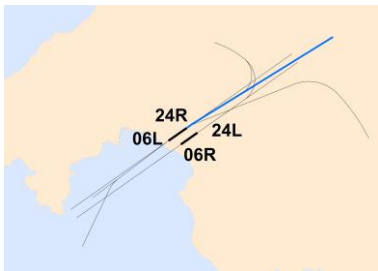
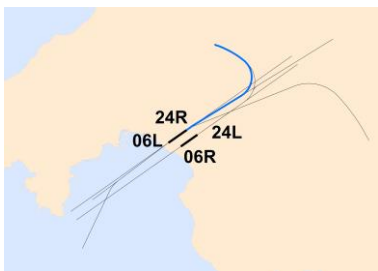
3. RÉGIMEN DE UTILIZACIÓN DE PISTAS Y TRAYECTORIAS

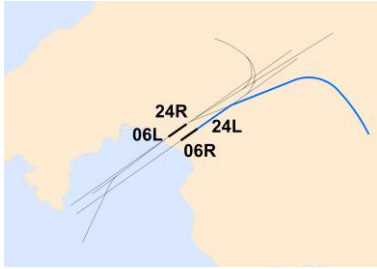
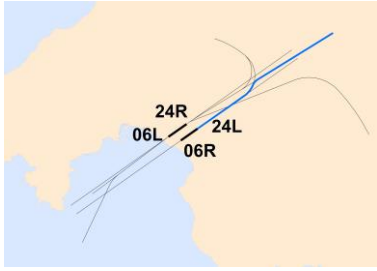
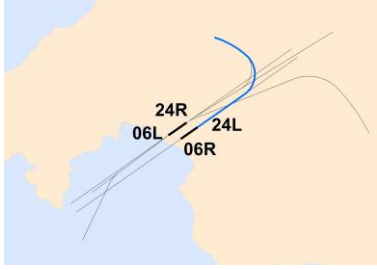
Tabla AII. 3. Características operativas de los corredores. Configuración oeste

| CORREDOR SIMULADO | PERIODO OPERATIVO | PISTA | PROCEDIMIENTO AIP |
|---|---|-------|-------------------|
| LLEGADAS NORMALIZADA (STAR) | | | |
| CMN |  | 24H | 24L |
| CMN |  | 24H | 24R |
| SALIDAS NORMALIZADA POR INSTRUMENTOS (SID) | | | |
| CMN |  | 24H | 24L |
| CMN |  | 24H | 24R |

Fuente: Elaboración propia

Tabla All. 4. Características operativas de los corredores. Configuración este

| CORREDOR SIMULADO | PERIODO OPERATIVO | PISTA | PROCEDIMIENTO AIP | |
|---|---|-------|-------------------|---|
| LLEGADAS NORMALIZADA (STAR) | | | | |
| CMN |  | 24H | 06L | GODOX1M / IZA1M / KENAS2M / LAMPA1M / LORES3M / LUNIK2M / MAMEB1M / MEBUT1M / MORSS3M / OSGAL1M / RIXOT2M / TOLSO3M / LORES1R / TOLSO1R |
| CMN |  | 24H | 06R | |
| SALIDAS NORMALIZADA POR INSTRUMENTOS (SID) | | | | |
| CE |  | 24H | 06L | CASOL1L / OSGAL1L / MEBUT1L / BAVER1L |
| CNW |  | 24H | 06L | ISTER1L / MEROS1L / MORSS1L / TONIS1L |
| PW |  | 24H | 06L | ESPOR2L / GALAT2L / DRAGO2L / EPAMA1L / BAVER1S / DRAGO2N / EPAMA1N / ESPOR2N / GALAT2N |

| CORREDOR SIMULADO | PERIODO OPERATIVO | PISTA | PROCEDIMIENTO AIP |
|---|-------------------|-------|--|
| <p>CE</p>  | 24H | 06R | CASOL1B / OSGAL1B / MEBUT1B / BAVER1B |
| <p>CNW</p>  | 24H | 06R | ISTER2B / MEROS4B / MORSS2E / TONIS1E |
| <p>PW</p>  | 24H | 06R | ESPOR2B/ GALAT2B / DRAGO2B / EPAMA1B / BAVER1T / DRAGO2R / EMAPA1R / ESPOR2R / GALAT2R |

Fuente: Elaboración propia

Tabla All. 5. Porcentaje de empleo de corredores. Llegadas.

| CONFIGURACIÓN | PISTA | CORREDOR | %D | %T | %N | %TOTAL POR CONFIGURACIÓN |
|---------------|-------|----------|-------|-------|-------|--------------------------|
| Oeste | 24L | CMN | 70,90 | 22,32 | 6,79 | 91,33 |
| | 24R | CMN | 66,63 | 17,74 | 15,63 | 8,67 |
| Este | 06L | CMN | 70,41 | 20,67 | 8,92 | 99,94 |
| | 06R | CMN | 11,76 | 35,30 | 52,94 | 0,06 |

Fuente: Elaboración propia

Tabla All. 6. Porcentaje de empleo de corredores. Salidas.

| CONFIGURACIÓN | PISTA | CORREDOR | %D | %T | %N | %TOTAL POR CONFIGURACIÓN |
|---------------|-------|----------|-------|-------|-------|--------------------------|
| Este | 06L | CE | 77,02 | 0,20 | 0,08 | 1,22 |
| | | CNW | 76,41 | 12,64 | 10,95 | 4,31 |
| | | PW | 63,34 | 15,64 | 21,02 | 6,41 |
| | 06R | CE | 72,31 | 21,28 | 6,41 | 4,76 |
| | | CNW | 68,62 | 24,40 | 6,98 | 46,42 |
| | | PW | 63,44 | 21,84 | 14,72 | 36,87 |
| Oeste | 24L | CMN | 61,11 | 8,33 | 30,55 | 0,05 |
| | 24R | CMN | 70,17 | 23,64 | 6,20 | 99,95 |

Fuente: Elaboración propia